

# 不可忽略的弱电企鹅效应 \*

郭立波<sup>1</sup> 李兴毅<sup>2</sup>

1(华中师范大学粒子物理研究所 武汉 430079)

2(河南师范大学物理系 新乡 453002)

**摘要** 从低能有效哈密顿及 BSW 方案出发, 研究了企鹅图诱导的 B 介子两体非轻弱衰变过程中弱电企鹅图效应. 通过计算发现, 凡是涉及到外企鹅图的过程, 弱电企鹅效应不可忽略, 甚至占主导及统治地位.

**关键词** 有效哈密顿 BSW 方案 外企鹅和内企鹅图

## 1 引言

众所周知, 企鹅图在 B 介子无璨弱衰变及 CP 破坏的研究过程中起着决定性作用. 一方面, 在 B 介子无璨弱衰变过程中, 由于其 CKM 压低性, 企鹅图贡献是不可忽略的<sup>[1]</sup>; 另一方面, 它又是研究 CP 破坏不可缺少的成分<sup>[2]</sup>. 但是由于 QED 耦合常数与 QCD 耦合常数相比有  $\alpha_{em}/\alpha_s \sim O(10^{-2})$ , 因此在通常的计算中仅考虑 QCD 企鹅图效应而忽略弱电企鹅图贡献<sup>[3]</sup>. 在轻 TOP 夸克质量的前提下这是一个很好的近似, 但是目前实验上发现了重 TOP, 这就需要重新对此加以研究探讨. 业已发现对于 K 介子系统中企鹅贡献为主、描述直接 CP 破坏效应的参量  $\epsilon'/\epsilon$ , 在重 TOP 夸克质量情况下, 弱电企鹅图贡献变得很重要, 甚至可与强企鹅效应相比<sup>[4]</sup>. 那么人们很自然的要问在重的 TOP 夸克情况下 B 介子弱衰变过程中弱电企鹅图效应如何呢? 在哪些过程中必须考虑弱电效应呢? 这就是本文要解决的问题.

本文从低能有效哈密顿出发, 以 B 介子纯企鹅图诱导的两体非轻弱衰变过程为例计算弱电企鹅图效应. 为简单起见, 仅限于讨论 PP 和 PV 末态, 其中 P 代表赝标介子, V 代表矢量介子. 在此, 将企鹅图分为内企鹅和外企鹅两种(图 1 和图 2). 为了估计企鹅算符的强子矩阵元, 应用基于因子化假设基础之上的 BSW 方案. 通过计算发现: (1) 对于纯外企鹅图诱导的过程, 弱电企鹅图贡献占统治地位; (2) 对于内、外企鹅图共同诱导的过程, 弱电企鹅图效应是不可忽略的, 超过 O(30%); (3) 对于纯内企鹅图诱导的过程, 弱电企鹅图贡献可以忽略. 用一句话概括起来, 也就是说凡是涉及到外企鹅图的 B 介子弱衰变过

1998-05-27收稿

\* 国家自然科学基金资助

程, 其弱电企鹅图效应不可忽略。以上结果可推广到其它 B 介子无璨弱衰变过程。

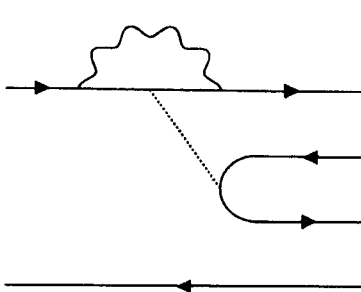


图1 内企鹅图

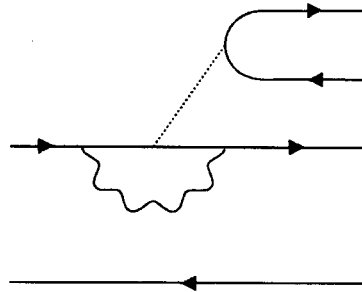


图2 外企鹅图

虚线代表胶子、 $Z^0$ 玻色子或光子

本文安排如下:第二节给出低能有效哈密顿;第三节在 BSW 方案下计算强子矩阵元;第四节是数值结果及讨论。

## 2 低能有效哈密顿

对于所要讨论的具体衰变过程, 相关的低能有效哈密顿可以写为<sup>[5]</sup>

$$\mathcal{H}_{\text{eff}} = -\frac{G_F}{\sqrt{2}} \lambda_t \sum_{i=3}^{10} C_i(m_b) Q_i, \quad (1)$$

其中  $\lambda_t = V_{tb} V_{tq}^*$  表示 CKM 因子, 算符基矢  $Q_3$  到  $Q_{10}$  定义为

$$Q_3 = (\bar{q}b)_{V-A} \sum_{q'} (\bar{q}' q')_{V-A}, \quad Q_4 = (\bar{q}_\alpha b_\beta)_{V-A} \sum_{q'} (\bar{q}'_\beta q'_\alpha)_{V-A}, \quad (2)$$

$$Q_5 = (\bar{q}b)_{V-A} \sum_{q'} (\bar{q}' q')_{V+A}, \quad Q_6 = (\bar{q}_\alpha b_\beta)_{V-A} \sum_{q'} (\bar{q}'_\beta q'_\alpha)_{V+A}, \quad (2)$$

$$Q_7 = (\bar{q}b)_{V-A} \sum_{q'} \frac{3}{2} e_{q'} (\bar{q}' q')_{V+A}, \quad Q_8 = (\bar{q}_\alpha b_\beta)_{V-A} \sum_{q'} \frac{3}{2} e_{q'} (\bar{q}'_\beta q'_\alpha)_{V+A},$$

$$Q_9 = (\bar{q}b)_{V-A} \sum_{q'} \frac{3}{2} e_{q'} (\bar{q}' q')_{V-A}, \quad Q_{10} = (\bar{q}_\alpha b_\beta)_{V-A} \sum_{q'} \frac{3}{2} e_{q'} (\bar{q}'_\beta q'_\alpha)_{V-A},$$

其中算符  $Q_3$  到  $Q_6$  是 QCD 企鹅算符,  $Q_7$  到  $Q_{10}$  是本文特别关注的来自于弱电企鹅图的弱电企鹅算符;  $q' = d, s, e_{q'}$  是  $q'$  夸克所带的电荷;  $q = d$  和  $s$  分别对应于  $b \rightarrow d$  和  $s$  跃迁;  $\alpha$  和  $\beta$  是  $SU(3)$  色指标。在  $m_b$  能标, (1) 式中的 Wilson 系数为<sup>[5]</sup>

$$C_3 = 0.014, \quad C_4 = -0.030, \quad C_5 = 0.009, \quad C_6 = -0.038, \\ C_7 = 3.52 \times 10^{-4}, \quad C_8 = 3.75 \times 10^{-4}, \quad C_9 = -0.01, \quad C_{10} = 2.56 \times 10^{-3}, \quad (3)$$

与 QCD 企鹅图的 Wilson 系数  $C_i(m_b)$  ( $i = 3, \dots, 6$ ) 相比可以看出, 来自于 Z 企鹅图的 Wilson 系数  $C_9(m_b)$  并不太小, 这也正是需要考虑弱电企鹅贡献的主要原因. 于是 B 介子两体非轻企鹅弱衰变过程的衰变振幅表示为

$$\langle XY | \mathcal{H}_{\text{eff}} | B \rangle = -\frac{G_F}{\sqrt{2}} \lambda_t \sum_{i=3}^{10} C_i(m_b) \langle XY | Q_i | B \rangle. \quad (4)$$

### 3 强子矩阵元的计算

为了计算企鹅算符的强子矩阵元, 采用基于因子化假设<sup>[6]</sup>基础之上的 BSW 模型<sup>[7]</sup>, 这样三强子矩阵元分解为夸克流的真空-介子和介子-介子矩阵元. 在此忽略湮没拓扑和类空企鹅图的贡献. 对于色单态的  $(V-A)(V-A)$  流, 前者定义介子的衰变常数, 后者可表为 Lorentz 标量形状因子的线性组合, 其中形状因子对动量的依赖性由单极点近似描述. 另一方面, 对于  $(V-A)(V+A)$  流, 首先进行 Fiertz 变换, 将其变成  $(S-P)(S+P)$  流的形式, 然后利用 Dirac 运动方程, 仍可表达为  $(V-A)(V-A)$  流的形式<sup>[8]</sup>.

$$\begin{aligned} & \langle P_1 | (\bar{q}_1 q_2)_{S+P} | 0 \rangle \langle P_2 | (\bar{q}_3 b)_{S-P} | B \rangle = \\ & - \frac{M_1^2}{(m_1 + m_2)(m_b - m_3)} \langle P_1 | \bar{q}_1 q_2 \rangle_{V-A} | 0 \rangle \langle P_2 | \bar{q}_3 b \rangle_{V-A} | B \rangle, \\ & \langle P_1 | (\bar{q}_1 q_2)_{S+P} | 0 \rangle \langle V_2 | (\bar{q}_3 b)_{S-P} | B \rangle = \\ & \frac{M_1^2}{(m_1 + m_2)(m_b + m_3)} \langle P_1 | \bar{q}_1 q_2 \rangle_{V-A} | 0 \rangle \langle V_2 | (\bar{q}_3 b)_{V-A} | B \rangle, \\ & \langle V_1 | (\bar{q}_1 q_2)_{S+P} | 0 \rangle \langle P_2 | (\bar{q}_3 b)_{S-P} | B \rangle = 0, \end{aligned} \quad (5)$$

所以这里仅限于讨论  $(V-A)(V-A)$  流.

对于一般衰变过程  $B(b\bar{q}) \rightarrow X(q_1\bar{q}_2) + Y(q_3\bar{q})$ , 其中  $q = u, d, s$  表示不同 B 介子的旁观夸克. 作因子化假设后, 遇到强子矩阵元

$$M_{q_1 q_2 q_3}^{XY} = \langle X | (\bar{q}_1 q_2)_{V-A} | 0 \rangle \langle Y | (\bar{q}_3 b)_{V-A} | B \rangle, \quad (6)$$

对于 PP 和 PV 末态, 根据末态介子的性质, 上式可分为三种不同的情况

1. X, Y 均为赝标介子:

$$M_{q_1 q_2 q_3}^{XY} = -i(M_B^2 - M_Y^2) f_X F_0^{BY}(M_X^2), \quad (7)$$

2. X 为赝标介子而 Y 为矢量介子:

$$M_{q_1 q_2 q_3}^{XY} = 2M_Y f_X A_0^{BY}(M_X^2) (\epsilon_Y^* \cdot P_B), \quad (8)$$

3. X 为矢量介子而 Y 为赝标介子:

表1 QCD企鹅算符 $Q_3, \dots, Q_6$ 的树图矩阵元(PP末态)

衰变模式	$\langle Q_3 \rangle_0$	$\langle Q_4 \rangle_0$	$\langle Q_5 \rangle_0$	$\langle Q_6 \rangle_0$	因子 $A$
$B^- \rightarrow \pi^- \bar{K}^0$	$\frac{1}{N_c} A$	$A$	$\frac{1}{N_c} \frac{2M_{\bar{K}^0}^2}{(m_d + m_s)(m_b - m_d)} A$	$\frac{2M_{\bar{K}^0}^2}{(m_d + m_s)(m_b - m_d)} A$	$M_{sdd}^{\bar{K}^0 \pi^-}$
$B^- \rightarrow K^- K^0$	$\frac{1}{N_c} A$	$A$	$\frac{1}{N_c} \frac{2M_{K^0}^2}{(m_d + m_s)(m_b - m_s)} A$	$\frac{2M_{K^0}^2}{(m_d + m_s)(m_b - m_s)} A$	$M_{dss}^{K^0 K^-}$
$\bar{B}_d^0 \rightarrow K^0 \bar{K}^0$	$\frac{1}{N_c} A$	$A$	$\frac{1}{N_c} \frac{2M_{K^0}^2}{(m_d + m_s)(m_b - m_s)} A$	$\frac{2M_{K^0}^2}{(m_d + m_s)(m_b - m_s)} A$	$M_{dss}^{K^0 \bar{K}^0}$
$\bar{B}_s^0 \rightarrow K^0 \bar{K}^0$	$\frac{1}{N_c} A$	$A$	$\frac{1}{N_c} \frac{2M_{K^0}^2}{(m_d + m_s)(m_b - m_d)} A$	$\frac{2M_{K^0}^2}{(m_d + m_s)(m_b - m_d)} A$	$M_{sdd}^{\bar{K}^0 K^0}$

表2 QCD企鹅算符 $Q_3, \dots, Q_6$ 的树图矩阵元(PV末态)

衰变模式	$\langle Q_3 \rangle_0$	$\langle Q_4 \rangle_0$	$\langle Q_5 \rangle_0$	$\langle Q_6 \rangle_0$	因子 $A(B)$
$B^- \rightarrow \pi^- \phi$	$A$	$\frac{1}{N_c} A$	$A$	$\frac{1}{N_c} A$	$M_{sdd}^{\phi \pi^-}$
$B^- \rightarrow \pi^- \bar{K}^{0*}$	$\frac{1}{N_c} A$	$A$	$0$	$0$	$M_{sdd}^{\bar{K}^{0*} \pi^-}$
$B^- \rightarrow \rho^- \bar{K}^0$	$\frac{1}{N_c} A$	$A$	$-\frac{1}{N_c} \frac{2M_{K^0}^2}{(m_d + m_s)(m_b + m_d)} A$	$-\frac{2M_{K^0}^2}{(m_d + m_s)(m_b + m_d)} A$	$M_{sdd}^{\bar{K}^0 \rho^-}$
$B^- \rightarrow K^- K^{0*}$	$\frac{1}{N_c} A$	$A$	$0$	$0$	$M_{dss}^{K^{0*} K^-}$
$B^- \rightarrow K^{-*} K^0$	$\frac{1}{N_c} A$	$A$	$-\frac{1}{N_c} \frac{2M_{K^0}^2}{(m_d + m_s)(m_b + m_s)} A$	$-\frac{2M_{K^0}^2}{(m_d + m_s)(m_b + m_s)} A$	$M_{dss}^{K^0 K^{-*}}$
$B^- \rightarrow K^- \phi$	$\left(1 + \frac{1}{N_c}\right) A$	$\left(1 + \frac{1}{N_c}\right) A$	$A$	$\frac{1}{N_c} A$	$M_{sss}^{\phi K^-}$
$\bar{B}_d^0 \rightarrow \pi^0 \phi$	$A$	$\frac{1}{N_c} A$	$A$	$\frac{1}{N_c} A$	$M_{sdd}^{\phi \pi^0}$
$\bar{B}_d^0 \rightarrow K^0 \bar{K}^{0*}$	$\frac{1}{N_c} A$	$A$	$-\frac{1}{N_c} \frac{2M_{K^0}^2}{(m_d + m_s)(m_b + m_s)} A$	$-\frac{2M_{K^0}^2}{(m_d + m_s)(m_b + m_s)} A$	$M_{dss}^{K^0 \bar{K}^{0*}}$
$\bar{B}_d^0 \rightarrow K^{0*} \bar{K}^0$	$\frac{1}{N_c} A$	$A$	$0$	$0$	$M_{dss}^{K^{0*} \bar{K}^0}$
$\bar{B}_d^0 \rightarrow \bar{K}^0 \phi$	$\left(1 + \frac{1}{N_c}\right) A$	$\left(1 + \frac{1}{N_c}\right) A$	$A$	$\frac{1}{N_c} A$	$M_{sss}^{\phi \bar{K}^0}$
$\bar{B}_s^0 \rightarrow K^0 \bar{K}^{0*}$	$\frac{1}{N_c} A$	$A$	$0$	$0$	$M_{sdd}^{\bar{K}^{0*} K^0}$
$\bar{B}_s^0 \rightarrow K^0 \bar{K}^0$	$\frac{1}{N_c} A$	$A$	$-\frac{1}{N_c} \frac{2M_{K^0}^2}{(m_d + m_s)(m_b + m_d)} A$	$-\frac{2M_{K^0}^2}{(m_d + m_s)(m_b + m_d)} A$	$M_{sdd}^{\bar{K}^0 K^0}$
$\bar{B}_s^0 \rightarrow K^{0*} \bar{K}^0$	$A$	$\frac{1}{N_c} A$	$A$	$\frac{1}{N_c} A$	$M_{sdd}^{\phi K^0}$
$\bar{B}_s^0 \rightarrow K^0 \phi$	$\frac{1}{N_c} B$	$B$	$\frac{1}{N_c} \frac{2M_{K^0}^2}{(m_d + m_s)(m_b - m_d)} B$	$\frac{2M_{K^0}^2}{(m_d + m_s)(m_b - m_d)} B$	$M_{dss}^{K^0 \phi}$

$$M_{q_1 q_2 q_3}^{XY} = 2 M_X f_X F_1^{BY}(M_X^2) (\epsilon_X^* \cdot P_B), \quad (9)$$

对于所考虑的衰变过程, 根据末态性质的不同, 企鹅算符的强子矩阵元的计算结果分别列于表 1 和 2 中. 由于  $(Q_7, Q_8, Q_9, Q_{10}) = -\frac{1}{2}(Q_5, Q_6, Q_3, Q_4)$ , 表中仅给出 QCD 企鹅算符的结果.

## 4 数值结果及讨论

在  $B$  介子静止框架下, 两体衰变的衰变宽度为

$$\Gamma(B \rightarrow XY) = \frac{G_F^2}{32\pi} M_B^3 \Phi\left(\frac{M_X}{M_B}, \frac{M_Y}{M_B}\right) |\mathcal{A}|^2 |\mathcal{T}|^2, \quad (10)$$

其中  $\Phi(x, y) = \sqrt{[1 - (x+y)^2][1 - (x-y)^2]}$  为相空间函数, 振幅  $\mathcal{A}$  与有效哈密顿的强子矩阵元间满足

$$\langle XY | \mathcal{H}_{\text{eff}} | B \rangle = \frac{G_F^2}{\sqrt{2}} \mathcal{A} M^{XY}, \quad (11)$$

不变振幅  $\mathcal{T}$  随末态的不同因子化分别取

$$\mathcal{T} = \begin{cases} f_X F_0^{BY}(M_X^2; 0^+) \left(1 - \left(\frac{M_Y}{M_B}\right)^2\right); & \text{PP 末态且 } X \text{ 被因子化,} \\ f_P A_0^{BV}(M_P^2; 0^-) \Phi\left(\frac{M_P}{M_B}, \frac{M_V}{M_B}\right); & \text{PV 末态且 } P \text{ 被因子化,} \\ f_V F_1^{BP}(M_V^2; 1^-) \Phi\left(\frac{M_P}{M_B}, \frac{M_V}{M_B}\right); & \text{PV 末态且 } V \text{ 被因子化,} \end{cases} \quad (12)$$

相应的分支比表达为

$$Br(B \rightarrow XY) = \frac{\Gamma(B \rightarrow XY)}{\Gamma_{B_q}}, \quad (13)$$

其中  $\Gamma_{B_q} = 1/\tau_{B_q}$ ,  $\tau_{B_q}$  是相应介子的寿命. 计算中所用参数的取值如下:

- 夸克质量(GeV):

$$m_u = 0.005, m_d = 0.01, m_c = 1.35, m_s = 0.175, m_b = 5.0, m_t = 174$$

- 介子质量及平均寿命取自文献 [9].

- CKM 矩阵取 Wolfenstein 表示<sup>[10]</sup>, 参数取值为<sup>[11]</sup>:

$$\lambda = 0.22, A = 0.8, \eta = 0.34, \rho = -0.12,$$

• 衰变常数(MeV):

$$f_\pi = 132, f_K = 161, f_\rho = 221, f_\phi = 233, f_{K^*} = 221,$$

• 极点质量(GeV):

流	$m(0^-)$	$m(1^-)$	$m(0^+)$
$\bar{u}b, \bar{d}b$	5.27	5.32	5.78
$\bar{s}b$	5.38	5.43	5.89

• 零动量转移的现状因子:

衰变	$B \rightarrow K$	$B \rightarrow \pi$	$B \rightarrow K^*$	$B \rightarrow \rho$
$F_1 = F_0$	0.379	0.333		
$A_0$			0.321	0.281

计算结果列于表3和表4中,其中 $Br(QCD)$ 表示仅QCD企鹅贡献的结果, $Br(QCD + EW)$ 表示QCD和EW企鹅图共同贡献的结果, $R$ 表示EW企鹅对QCD企鹅图结果修正的百分比。

表3  $B \rightarrow PP$ 衰变的分支比

衰变模式	$Br(QCD)$	$Br(QCD+QED)$	$R(\%)$
$B_u^- \rightarrow \pi^- \bar{K}^0$	$3.84 \times 10^{-6}$	$3.79 \times 10^{-6}$	-1.4
$B_u^- \rightarrow K^- K^0$	$3.49 \times 10^{-7}$	$3.44 \times 10^{-7}$	-1.4
$\bar{B}_d^0 \rightarrow K^0 \bar{K}^0$	$3.36 \times 10^{-7}$	$3.31 \times 10^{-7}$	-1.4
$\bar{B}_s^0 \rightarrow K^0 \bar{K}^0$	$5.11 \times 10^{-6}$	$5.04 \times 10^{-6}$	-1.4

表4  $B \rightarrow PV$ 衰变的分支比

衰变模式	$Br(QCD)$	$Br(QCD+QED)$	$R(\%)$
$B_u^- \rightarrow \pi^- \bar{K}^{0*}$	$2.33 \times 10^{-5}$	$2.26 \times 10^{-5}$	-3.0
$B_u^- \rightarrow \pi^- \phi$	$3.10 \times 10^{-11}$	$6.08 \times 10^{-9}$	$1.95 \times 10^4$
$B_u^- \rightarrow \rho^- \bar{K}^0$	$5.72 \times 10^{-8}$	$4.86 \times 10^{-8}$	-15.1
$B_u^- \rightarrow K^- K^{0*}$	$2.04 \times 10^{-7}$	$1.98 \times 10^{-7}$	-3.0
$B_u^- \rightarrow K^{*-} K^0$	$6.06 \times 10^{-9}$	$5.22 \times 10^{-9}$	-13.8
$B_u^- \rightarrow K^- \phi$	$3.14 \times 10^{-5}$	$2.06 \times 10^{-5}$	-34.2
$\bar{B}_d^0 \rightarrow \pi^0 \phi$	$1.49 \times 10^{-11}$	$2.93 \times 10^{-9}$	$1.95 \times 10^4$
$\bar{B}_d^0 \rightarrow K^0 \bar{K}^{0*}$	$5.83 \times 10^{-9}$	$5.02 \times 10^{-9}$	-13.8
$\bar{B}_d^0 \rightarrow K^{0*} \bar{K}^0$	$1.97 \times 10^{-7}$	$1.91 \times 10^{-7}$	-3.0
$\bar{B}_d^0 \rightarrow \bar{K}^0 \phi$	$3.02 \times 10^{-5}$	$1.99 \times 10^{-5}$	-34.2
$\bar{B}_s^0 \rightarrow K^0 \bar{K}^{0*}$	$2.92 \times 10^{-5}$	$2.83 \times 10^{-5}$	-3.0
$\bar{B}_s^0 \rightarrow K^{0*} \bar{K}^0$	$7.25 \times 10^{-8}$	$6.15 \times 10^{-8}$	-15.1
$\bar{B}_s^0 \rightarrow \bar{K}^0 \phi$	$2.90 \times 10^{-9}$	$1.96 \times 10^{-9}$	-32.5

从表3和表4可以看出

1. 对于末态为 PP 的衰变, 它们仅通过内企鹅图发生, 此时弱电企鹅效应很小, 不超过 2%, 因此可以忽略.

2. 对于末态为 PV 介子的衰变, 有 3 种情况: (1)  $B \rightarrow \pi\phi$  是纯外企鹅过程, 弱电企鹅可使其衰变分支比增大两个数量级. (2)  $B \rightarrow K\phi$  跃迁既可通过外企鹅发生, 同时也可通过内企鹅发生, 弱电企鹅贡献不可忽略, 可达 34%. (3) 其它衰变模式仅可通过内企鹅图发生, 弱电企鹅效应小于 15%, 可以忽略.

那么为什么会出现这种情形呢? 可以理解如下: 首先讨论外企鹅图情况, 此时来自于胶子,  $Z^0$  玻色子或光子的夸克和反夸克形成一个介子. 对于 QCD 企鹅图, 来自于胶子的夸克和反夸克对构成一个色八重态, 不能组成介子, 因此衰变宽度为零, 表中非零结果是利用重正化群从  $\mu = O(M_w)$  能标演化到  $\mu = O(m_b)$  能标的結果; 而对于弱电企鹅图, 来自于  $Z^0$  玻色子或光子的夸克和反夸克对构成一个色单态, 可以形成介子, 进而给出非零结果. 因此弱电企鹅起主导作用. 其次对于内企鹅图, 来自于胶子,  $Z^0$  玻色子或光子的夸克和反夸克对均不形成介子, 因此不存在色的问题, 但由于 QCD 企鹅算符的 Wilson 系数比弱电企鹅算符的 Wilson 系数大, 所以 QCD 企鹅图起主要作用. 最后对  $B \rightarrow \pi\phi$  过程加以讨论. 它是一个纯外企鹅过程, 弱电企鹅图起主导作用, 虽然重正化群的演化使得其衰变宽度不为零, 但是由于 QCD 企鹅算符的 Wilson 系数满足关系

$$C_3(m_b) + C_5(m_b) \approx -\frac{1}{3} [C_4(m_b) + C_6(m_b)] \quad (14)$$

使得衰变振幅中 QCD 企鹅效应几乎完全抵消, 因此纯 QCD 企鹅衰变宽度很小. 而对于弱电企鹅不存在类似情况, 所以  $R$  的值很大. 需要说明的是, 尽管衰变振幅(4)依赖于 CKM 矩阵元的选取, 使得衰变宽度有小的改变, 但是由于在  $R$  的计算中完全相消,  $R$  的数值不变化. 因此对于 CKM 矩阵的其它可能取值, 上面的结论仍然成立.

综合以上结果可以得出如下结论: 凡涉及到外企鹅图的跃迁过程, 必须考虑弱电企鹅贡献.

### 参 考 文 献

- 1 Kramer G, Palmer W, Simma H. Z. Phys., 1995, **C66**:429; Nucl. Phys., 1994, **B428**:77
- 2 CP violation, edited by Jarlskog C, Advanced Series on Directions in High Energy Physics, Vol. 3 (World Scientific, Singapore, 1989)
- 3 Gilman F, Hagelin J. Phys. Lett., 1983, **B126**:111; Buras A, Gérard J. Phys. Lett., 1988, **B203**:272
- 4 Buras A, Jamin M, Lautenbacher M. Nucl. Phys., 1993, **B408**:209; Ciuchini M, Franco E, Martinelli G et al. Phys. Lett., 1993, **B301**:263; Flynn J, Randall L. Phys. Lett., 1989, **B224**:221; erratum ibid., 1990, **B235**:412
- 5 Buchalla G, Buras A, Lautenbacher M. Rev. Mod. Phys., 1996, **68**:1125
- 6 Fakirov D, Stech B. Nucl. Phys., 1978, **B133**:315; Cabibbo N, Maiani L. Phys. Lett., 1978, **B73**:418
- 7 Bauer M, Stech B, Wirbel M. Z. Phys., 1987, **C34**:103; ibid., 1985, **C29**: 637
- 8 Chau L, Cheng H, Sze W et al. Phys. Rev., 1991, **D43**:2176
- 9 Particle Data Group. Phys. Rev., 1996, **D54**:1
- 10 Wolfenstein L. Phys. Rev. Lett., 1983, **51**:1945

11 Ali A, London D. Z. Phys., 1995, C65:431

## Non-Negligible Electroweak Penguin Effects \*

Guo Libo<sup>1</sup> Li Xingyi<sup>2</sup>

1 (*Institute of Particle Physics, Central China Normal University, Wuhan 430079*)

2 (*Department of Physics, Henan Normal University, Xinxiang 453002*)

**Abstract** Starting from the leading logarithmic low energy effective Hamiltonian and the Bauer-Stech-Wirbel(BSW) model, we calculate the electroweak penguin effects in the two-body hadronic pure penguin processes of B-meson. In the case of  $B \rightarrow PP$  and  $PV$  decays, we find that the processes involving external penguin diagrams receive large contribution from electroweak penguin effects which can even play dominant role.

**Key words** effective Hamiltonian, BSW scheme, external and internal penguin diagrams

---

Received 27 May 1998

\* Supported by the National Natural Science Foundation of China